

第二节

二重积分的计算

- 一、二重积分的几何意义
- 二、直角坐标系下二重积分的计算法
- 三、极坐标系下二重积分的计算法
- 四、曲线坐标下二重积分的计算法



2.1 二重积分的几何意义

定义: 设 $f(x, y)$ 是定义在有界闭区域 D 上的有界函数, 将区域 D 任意分成 n 个小区域 $\Delta\sigma_k$ ($k=1, 2, \dots, n$), 任取一点 $(\xi_k, \eta_k) \in \Delta\sigma_k$, 若存在一个常数 I , 使

$$I = \lim_{\lambda \rightarrow 0} \sum_{k=1}^n f(\xi_k, \eta_k) \Delta\sigma_k \stackrel{\text{记作}}{=} \iint_D f(x, y) d\sigma$$

则称 $f(x, y)$ **可积**, 称 I 为 $f(x, y)$ 在 D 上的 **二重积分**.

积分和

积分表达式

\iint_D

$f(x, y) d\sigma$

x, y 称为积分变量

积分域

被积函数

面积元素



HIGHER EDUCATION PRESS



目录



上页



下页



返回

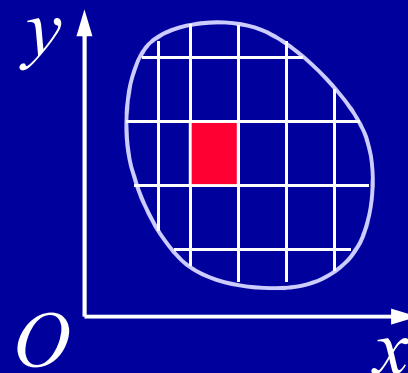


结束

2/40

如果 $f(x, y)$ 在 D 上可积, 可用平行坐标轴的直线来划分区域 D , 这时 $\Delta\sigma_k = \Delta x_k \Delta y_k$, 因此面积元素 $d\sigma$ 也常记作 $dx dy$, 二重积分记作

$$\iint_D f(x, y) dx dy.$$



几何意义 曲顶柱体体积:

$$V = \iint_D f(x, y) d\sigma = \iint_D f(x, y) dx dy$$

平面薄板的质量:

$$M = \iint_D \mu(x, y) d\sigma = \iint_D \mu(x, y) dx dy$$



设 $f \in C(D)$, $D \subseteq R^2$ (有界闭区域)

$$\text{二重积分: } \iint_{(D)} f(x, y) d\sigma = \lim_{d \rightarrow 0} \sum_{k=1}^n f(\xi_k, \eta_k) \Delta\sigma_k$$

其几何意义就是曲顶柱体的体积

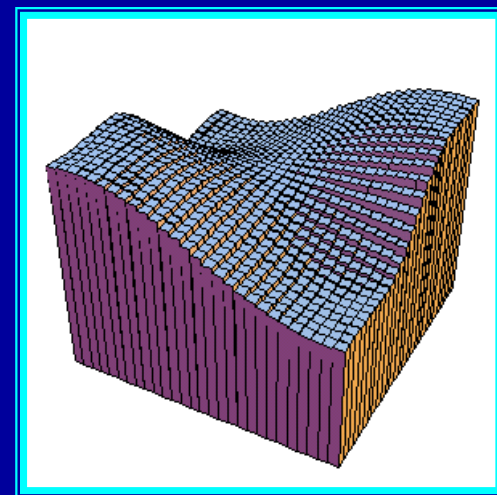
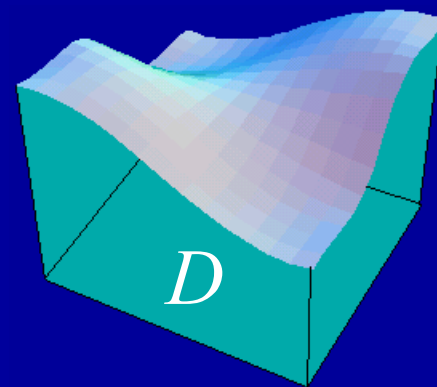
底: xOy 面上的闭区域 D

顶: 连续曲面 $z = f(x, y) \geq 0$

侧面: 以 D 的边界为准线, 母线平行于 z 轴的柱面.

求体积: 类似定积分解决问题的思想:
“分, 匀, 合, 精”

$$z = f(x, y)$$



曲顶柱体体积的计算

设曲顶柱的底为 (X -型区域) $y = \varphi_2(x)$

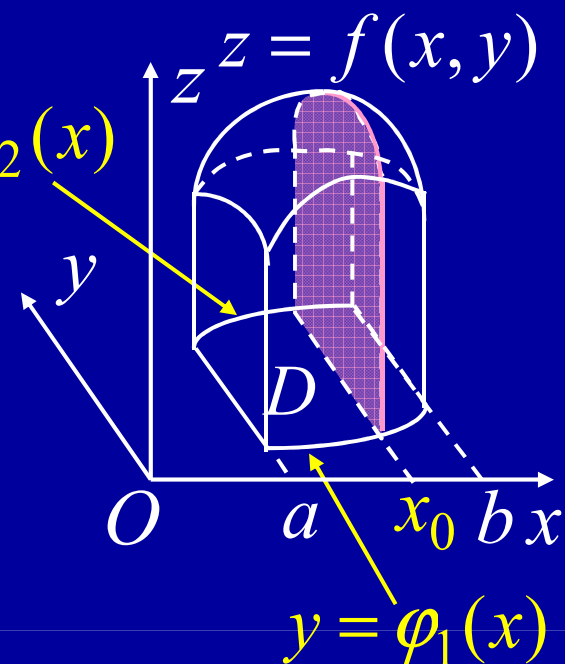
$$D = \left\{ (x, y) \left| \begin{array}{l} \varphi_1(x) \leq y \leq \varphi_2(x) \\ a \leq x \leq b \end{array} \right. \right\}$$

任取 $x_0 \in [a, b]$, 平面 $x = x_0$ 截柱体的

截面积为 $A(x_0) = \int_{\varphi_1(x_0)}^{\varphi_2(x_0)} f(x_0, y) dy$

故曲顶柱体体积为

$$\begin{aligned} V &= \iint_D f(x, y) d\sigma = \int_a^b A(x) dx \\ &= \int_a^b \left[\int_{\varphi_1(x)}^{\varphi_2(x)} f(x, y) dy \right] dx \stackrel{\text{记作}}{=} \int_a^b dx \int_{\varphi_1(x)}^{\varphi_2(x)} f(x, y) dy \end{aligned}$$

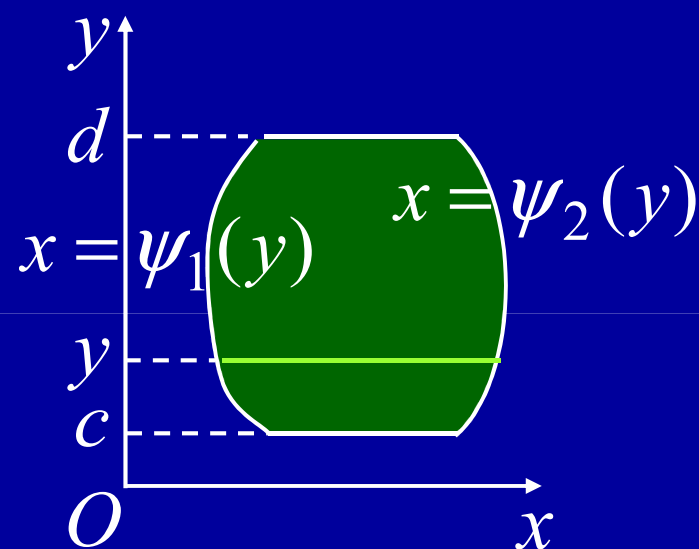


同样, 曲顶柱的底为 (Y-型区域)

$$D = \{ (x, y) \mid \psi_1(y) \leq x \leq \psi_2(y), c \leq y \leq d \}$$

则其体积可按如下两次积分计算

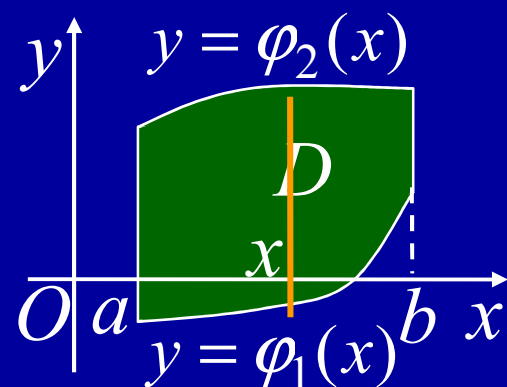
$$\begin{aligned} V &= \iint_D f(x, y) d\sigma \\ &= \int_c^d \left[\int_{\psi_1(y)}^{\psi_2(y)} f(x, y) dx \right] dy \\ &\stackrel{\text{记作}}{=} \int_c^d dy \int_{\psi_1(y)}^{\psi_2(y)} f(x, y) dx \end{aligned}$$



二、直角坐标系下二重积分的计算法

由曲顶柱体体积的计算可知, 当被积函数 $f(x, y) \geq 0$ 且在 D 上连续时, 若 D 为 X -型区域

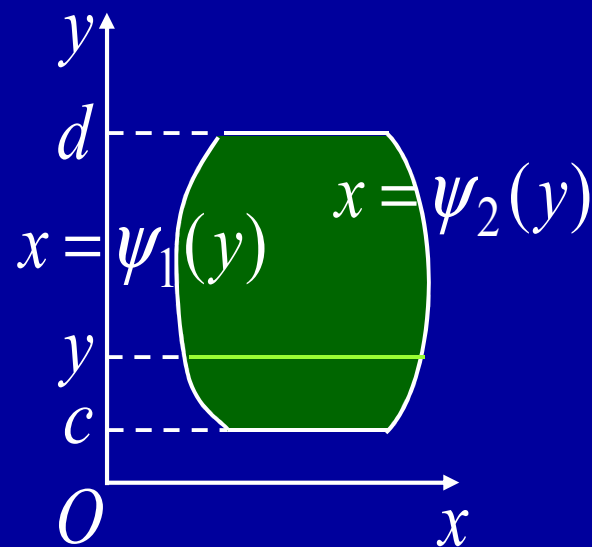
$$D: \begin{cases} \varphi_1(x) \leq y \leq \varphi_2(x) \\ a \leq x \leq b \end{cases}$$



$$\text{则 } \iint_D f(x, y) dx dy = \int_a^b dx \int_{\varphi_1(x)}^{\varphi_2(x)} f(x, y) dy$$

若 D 为 Y -型区域 $D: \begin{cases} \psi_1(y) \leq x \leq \psi_2(y) \\ c \leq y \leq d \end{cases}$

$$\text{则 } \iint_D f(x, y) dx dy = \int_c^d dy \int_{\psi_1(y)}^{\psi_2(y)} f(x, y) dx$$



当被积函数 $f(x, y)$ 在 D 上变号时, 由于

$$f(x, y) = \underbrace{\frac{f(x, y) + |f(x, y)|}{2}}_{f_1(x, y)} - \underbrace{\frac{|f(x, y)| - f(x, y)}{2}}_{f_2(x, y)} \text{ 均非负}$$

$$\therefore \iint_D f(x, y) dx dy = \iint_D f_1(x, y) dx dy - \iint_D f_2(x, y) dx dy$$

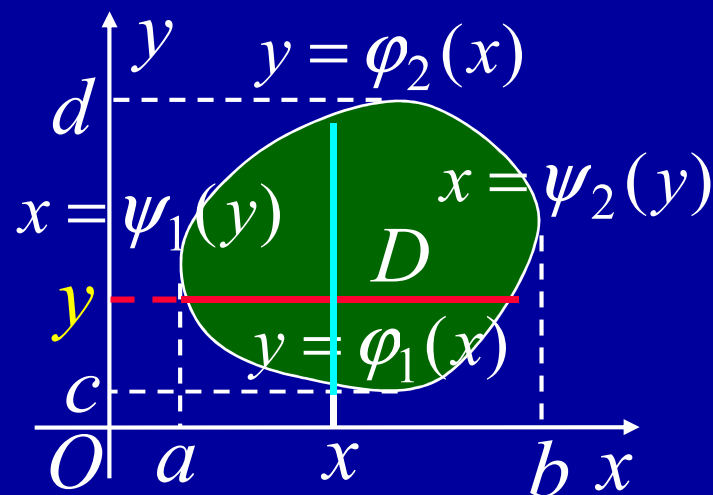
因此上面讨论的累次积分法仍然有效.



说明: (1) 若积分区域既是 X -型区域又是 Y -型区域,

则有

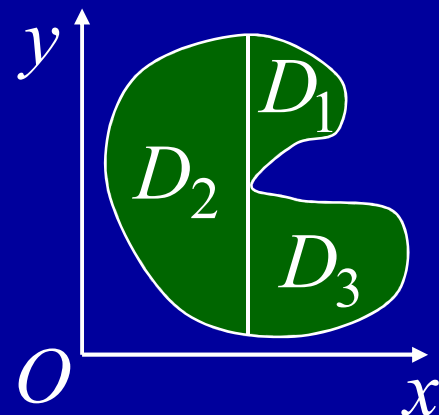
$$\begin{aligned} \iint_D f(x, y) dx dy \\ &= \int_a^b dx \int_{\varphi_1(x)}^{\varphi_2(x)} f(x, y) dy \\ &= \int_c^d dy \int_{\psi_1(y)}^{\psi_2(y)} f(x, y) dx \end{aligned}$$



为计算方便,可**选择积分序**,必要时还可以**交换积分序**.

(2) 若积分域较复杂,可将它分成若干 X -型域或 Y -型域,则

$$\iint_D = \iint_{D_1} + \iint_{D_2} + \iint_{D_3}$$

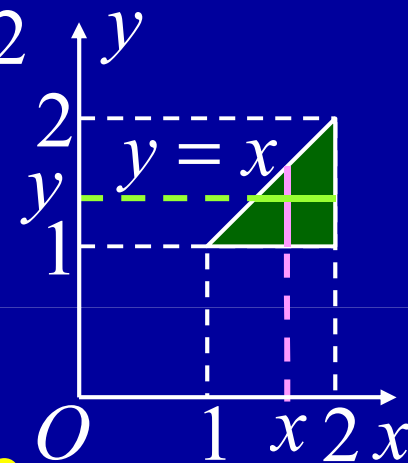


例1 计算 $I = \iint_D xy d\sigma$, 其中 D 是直线 $y=1$, $x=2$, 及 $y=x$ 所围的闭区域.

解法1. 将 D 看作 X -型区域, 则 $D: \begin{cases} 1 \leq y \leq x \\ 1 \leq x \leq 2 \end{cases}$

$$I = \int_1^2 dx \int_1^x xy dy = \int_1^2 \left[\frac{1}{2} xy^2 \right]_1^x dx$$

$$= \int_1^2 \left[\frac{1}{2} x^3 - \frac{1}{2} x \right] dx = \frac{9}{8}$$



解法2. 将 D 看作 Y -型区域, 则 $D: \begin{cases} y \leq x \leq 2 \\ 1 \leq y \leq 2 \end{cases}$

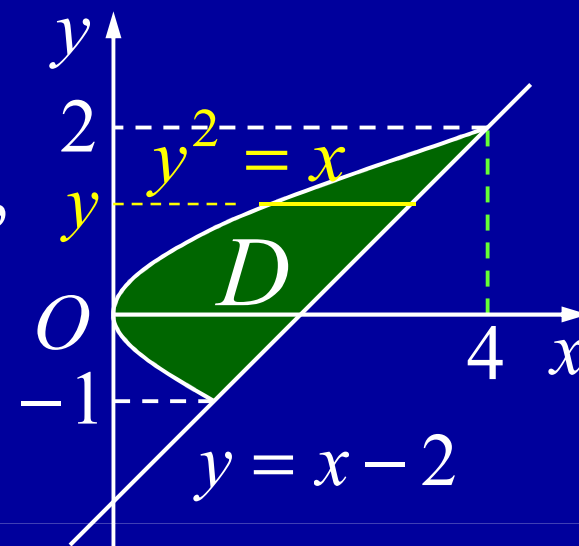
$$I = \int_1^2 dy \int_y^2 xy dx = \int_1^2 \left[\frac{1}{2} x^2 y \right]_y^2 dy = \int_1^2 \left[2y - \frac{1}{2} y^3 \right] dy = \frac{9}{8}$$



例2.3 计算 $\iint_D xy d\sigma$, 其中 D 是抛物线 $y^2 = x$ 及直线 $y = x - 2$ 所围成的闭区域.

解: 为计算简便, 先对 x 后对 y 积分,

则 $D: \begin{cases} y^2 \leq x \leq y+2 \\ -1 \leq y \leq 2 \end{cases}$



$$\therefore \iint_D xy d\sigma = \int_{-1}^2 dy \int_{y^2}^{y+2} xy dx$$

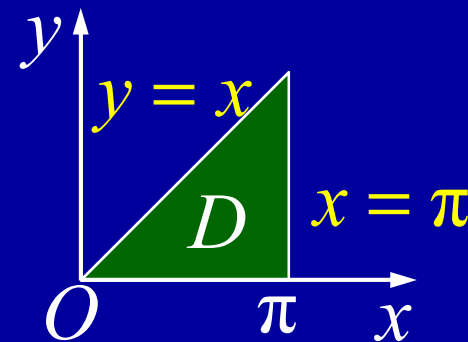
$$= \int_{-1}^2 \left[\frac{1}{2} x^2 y \right]_{y^2}^{y+2} dy = \frac{1}{2} \int_{-1}^2 [y(y+2)^2 - y^5] dy$$

$$= \frac{1}{2} \left[\frac{y^4}{4} + \frac{4}{3} y^3 + 2y^2 - \frac{1}{6} y^6 \right]_{-1}^2 = \frac{45}{8}$$



例3 计算 $\iint_D \frac{\sin x}{x} dx dy$, 其中 D 是直线 $y = x$, $y = 0$, $x = \pi$ 所围成的闭区域.

解: 由被积函数可知, 先对 x 积分不行, 因此取 D 为 X -型域:



$$D: \begin{cases} 0 \leq y \leq x \\ 0 \leq x \leq \pi \end{cases}$$

$$\begin{aligned} \therefore \iint_D \frac{\sin x}{x} dx dy &= \int_0^\pi \frac{\sin x}{x} dx \int_0^x dy \\ &= \int_0^\pi \sin x dx = [-\cos x]_0^\pi = 2 \end{aligned}$$

说明: 有些二次积分为了积分方便, 还需交换积分顺序.



例4 交换下列积分顺序

$$I = \int_0^2 dx \int_0^{\frac{x^2}{2}} f(x, y) dy + \int_2^{2\sqrt{2}} dx \int_0^{\sqrt{8-x^2}} f(x, y) dy$$

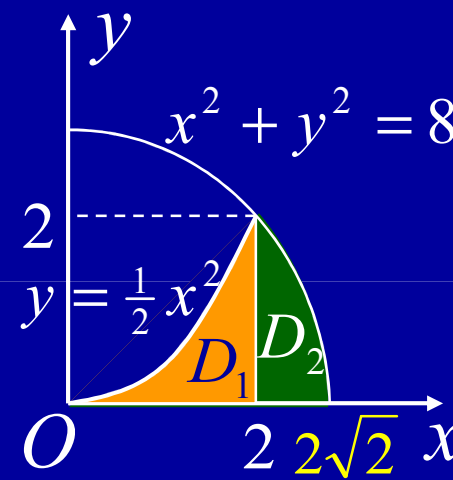
解: 积分域由两部分组成:

$$D_1: \begin{cases} 0 \leq y \leq \frac{1}{2}x^2 \\ 0 \leq x \leq 2 \end{cases}, \quad D_2: \begin{cases} 0 \leq y \leq \sqrt{8-x^2} \\ 2 \leq x \leq 2\sqrt{2} \end{cases}$$

将 $D = D_1 + D_2$ 视为 Y -型区域, 则

$$D: \begin{cases} \sqrt{2y} \leq x \leq \sqrt{8-y^2} \\ 0 \leq y \leq 2 \end{cases}$$

$$I = \iint_D f(x, y) dx dy = \int_0^2 dy \int_{\sqrt{2y}}^{\sqrt{8-y^2}} f(x, y) dx$$



例5. 计算 $I = \iint_D x \ln(y + \sqrt{1 + y^2}) dx dy$, 其中 D 由 $y = 4 - x^2$, $y = -3x$, $x = 1$ 所围成.

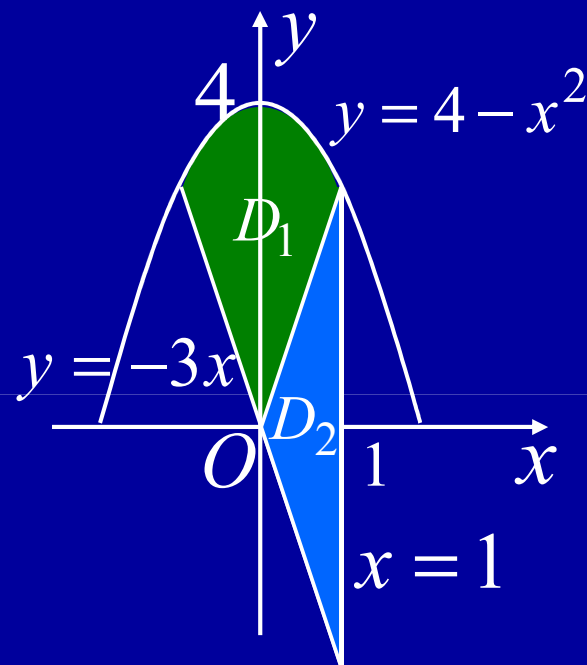
解: 令 $f(x, y) = x \ln(y + \sqrt{1 + y^2})$

$D = D_1 \cup D_2$ (如图所示)

显然, 在 D_1 上, $f(-x, y) = -f(x, y)$

在 D_2 上, $f(x, -y) = -f(x, y)$

$$\begin{aligned} \therefore I &= \iint_{D_1} x \ln(y + \sqrt{1 + y^2}) dx dy \\ &\quad + \iint_{D_2} x \ln(y + \sqrt{1 + y^2}) dx dy = 0 \end{aligned}$$



例6. 求两个底圆半径为 R 的直交圆柱面所围的体积.

解: 设两个直圆柱方程为

$$x^2 + y^2 = R^2, \quad x^2 + z^2 = R^2$$

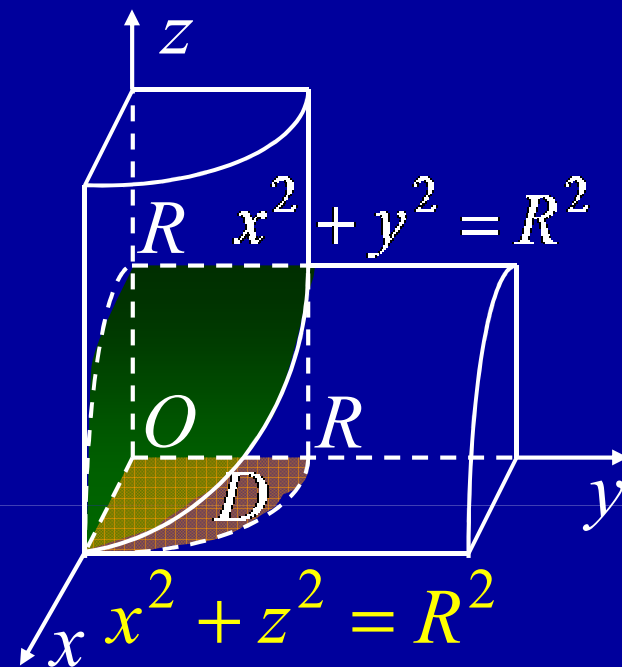
利用对称性, 考虑第一卦限部分,

其曲顶柱体的顶为 $z = \sqrt{R^2 - x^2}$

$$(x, y) \in D: \begin{cases} 0 \leq y \leq \sqrt{R^2 - x^2} \\ 0 \leq x \leq R \end{cases}$$

则所求体积为

$$\begin{aligned} V &= 8 \iint_D \sqrt{R^2 - x^2} \, dx \, dy = 8 \int_0^R \sqrt{R^2 - x^2} \, dx \int_0^{\sqrt{R^2 - x^2}} dy \\ &= 8 \int_0^R (R^2 - x^2) \, dx = \frac{16}{3} R^3 \end{aligned}$$



2.3 极坐标系下二重积分的计算法

在极坐标系下, 用同心圆 $r = \text{常数}$ 及射线 $\theta = \text{常数}$, 分划区域 D 为

$$\Delta\sigma_k \quad (k=1, 2, \dots, n)$$

则除包含边界点的小区域外, 小区域的面积

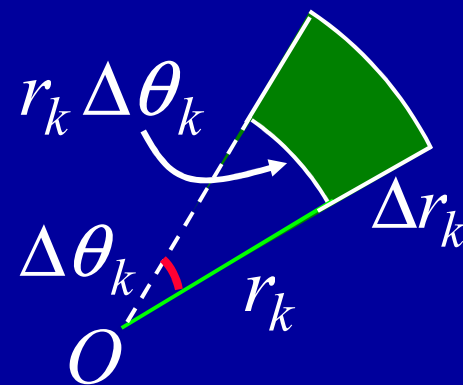
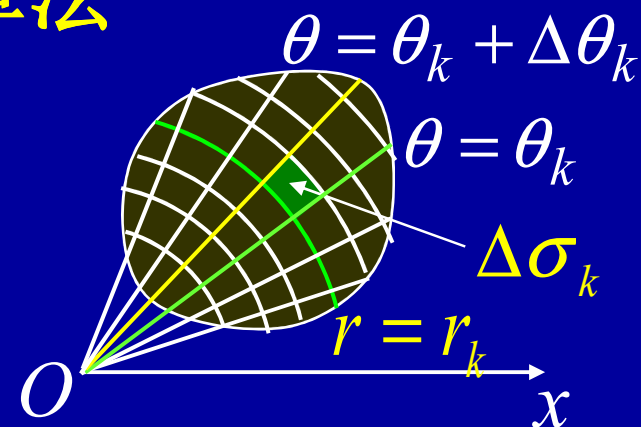
$$\Delta\sigma_k = \frac{1}{2}(r_k + \Delta r_k)^2 \cdot \Delta\theta_k - \frac{1}{2}r_k^2 \cdot \Delta\theta_k$$

$$= \frac{1}{2}[r_k + (r_k + \Delta r_k)]\Delta r_k \cdot \Delta\theta_k$$

$$= \overline{r_k} \Delta r_k \cdot \Delta\theta_k$$

在 $\Delta\sigma_k$ 内取点 $(\overline{r_k}, \overline{\theta_k})$, 对应有

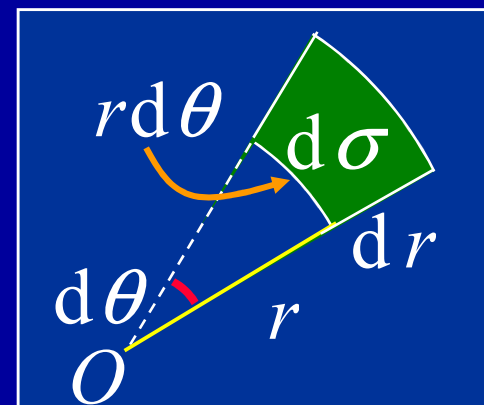
$$\xi_k = \overline{r_k} \cos \overline{\theta_k}, \quad \eta_k = \overline{r_k} \sin \overline{\theta_k}$$



$$\lim_{\lambda \rightarrow 0} \sum_{k=1}^n f(\xi_k, \eta_k) \Delta \sigma_k$$

$$= \lim_{\lambda \rightarrow 0} \sum_{k=1}^n f(\bar{r}_k \cos \bar{\theta}_k, \bar{r}_k \sin \bar{\theta}_k) \bar{r}_k \Delta r_k \Delta \theta_k$$

即
$$\iint_D f(x, y) d\sigma = \iint_D f(r \cos \theta, r \sin \theta) r dr d\theta$$



设 $D: \begin{cases} \varphi_1(\theta) \leq r \leq \varphi_2(\theta) \\ \alpha \leq \theta \leq \beta \end{cases}$, 则

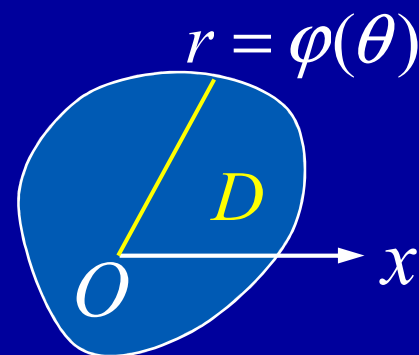
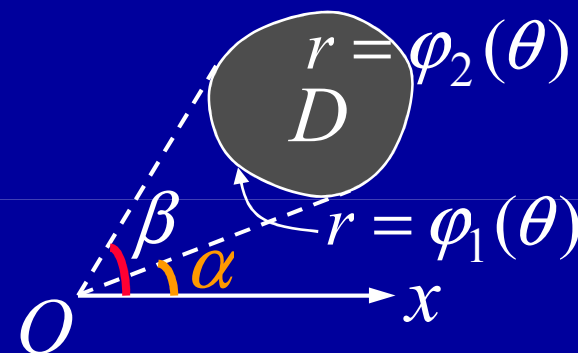
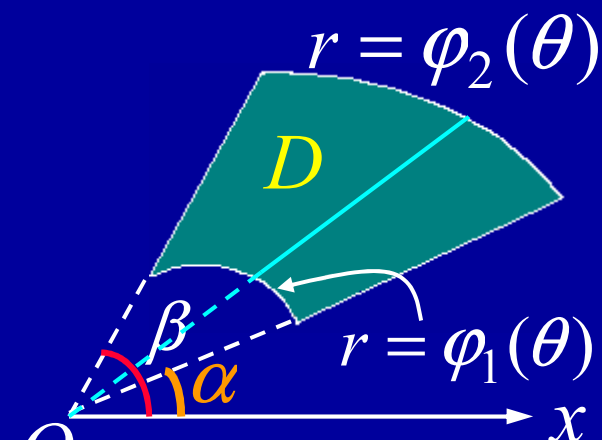
$$\iint_D f(r \cos \theta, r \sin \theta) r \, dr \, d\theta$$

$$= \int_{\alpha}^{\beta} d\theta \int_{\varphi_1(\theta)}^{\varphi_2(\theta)} f(r \cos \theta, r \sin \theta) r \, dr$$

特别, 对 $D: \begin{cases} 0 \leq r \leq \varphi(\theta) \\ 0 \leq \theta \leq 2\pi \end{cases}$

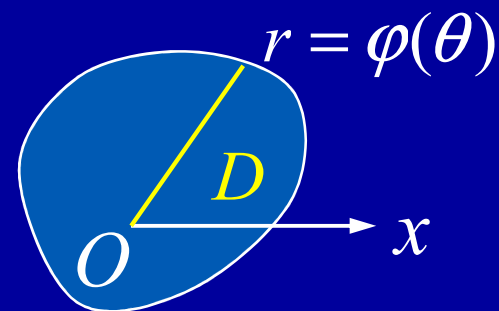
$$\iint_D f(r \cos \theta, r \sin \theta) r \, dr \, d\theta$$

$$= \int_0^{2\pi} d\theta \int_0^{\varphi(\theta)} f(r \cos \theta, r \sin \theta) r \, dr$$

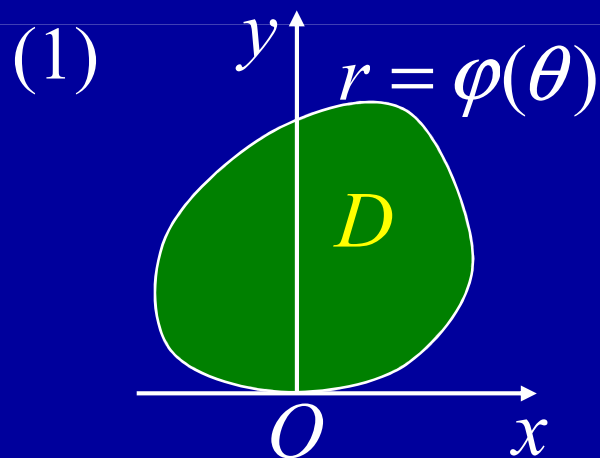


此时若 $f \equiv 1$ 则可求得 D 的面积

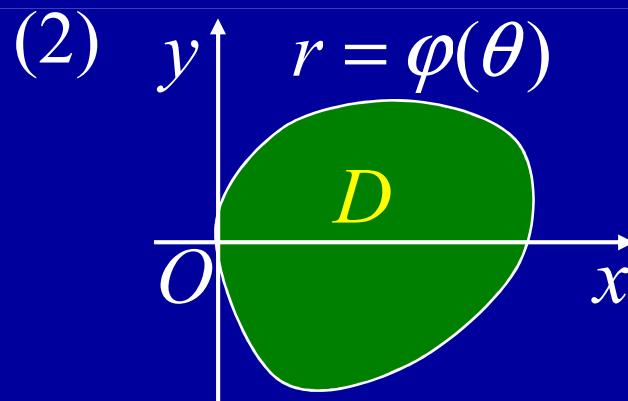
$$\sigma = \iint_D d\sigma = \frac{1}{2} \int_0^{2\pi} \varphi^2(\theta) d\theta$$



思考: 下列各图中域 D 分别与 x, y 轴相切于原点, 试问 θ 的变化范围是什么?



答: (1) $0 \leq \theta \leq \pi$;



(2) $-\frac{\pi}{2} \leq \theta \leq \frac{\pi}{2}$



HIGHER EDUCATION PRESS



目录



上页



下页



返回



结束

19/40

例7. 计算 $\iint_D e^{-x^2-y^2} dx dy$, 其中 $D: x^2 + y^2 \leq a^2$.

解: 在极坐标系下 $D: \begin{cases} 0 \leq r \leq a \\ 0 \leq \theta \leq 2\pi \end{cases}$, 故

$$\text{原式} = \iint_D e^{-r^2} r dr d\theta = \int_0^{2\pi} d\theta \int_0^a r e^{-r^2} dr$$

$$= 2\pi \left[\frac{-1}{2} e^{-r^2} \right]_0^a = \pi(1 - e^{-a^2})$$

由于 e^{-x^2} 的原函数不是初等函数, 故本题无法用直角坐标计算.

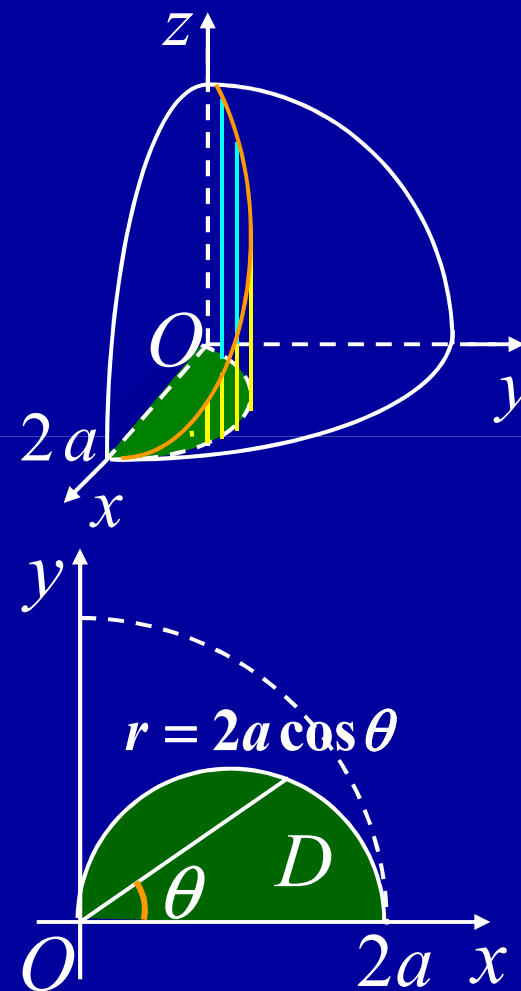


例2.8 求球体 $x^2 + y^2 + z^2 \leq 4a^2$ 被圆柱面 $x^2 + y^2 = 2ax$ ($a > 0$) 所截得的(含在柱面内的)立体的体积.

解: 设 $D: 0 \leq r \leq 2a \cos \theta, 0 \leq \theta \leq \frac{\pi}{2}$

由对称性可知

$$\begin{aligned} V &= 4 \iint_D \sqrt{4a^2 - r^2} r \, dr \, d\theta \\ &= 4 \int_0^{\pi/2} d\theta \int_0^{2a \cos \theta} \sqrt{4a^2 - r^2} r \, dr \\ &= \frac{32}{3} a^3 \int_0^{\pi/2} (1 - \sin^3 \theta) d\theta \\ &= \frac{32}{3} a^3 \left(\frac{\pi}{2} - \frac{2}{3} \right) \end{aligned}$$



2.4 曲线坐标下二重积分的计算法

在2.3段中我们看到，运用极坐标变换有时候可以使二重积分的计算简化。但是，极坐标只是一种特殊的坐标变换。为了计算二重积分，有时候需要使用其它的坐标变换。下面我们来介绍在一般形式的坐标变换下计算二重积分的方法，也就是二重积分的一般换元法。



作变换

$$\begin{cases} u = u(x, y) \\ v = v(x, y) \end{cases}, (x, y) \in (\sigma) \subsetneq \mathbf{R}^2, (u, v) \in (\sigma') \subsetneq \mathbf{R}^2 \quad (2.13)$$

若以下三个条件满足, 则称变换 (2.13) 为**正则变换**.

(1) 函数 $u, v \in C^{(1)}((\sigma))$;

(2) Jacobi 行列式 $\frac{\partial(u, v)}{\partial(x, y)} = \begin{vmatrix} u_x & u_y \\ v_x & v_y \end{vmatrix} \neq 0, \forall x, y \in (\sigma)$;

(3) 此变换将域 (σ) 一一对应地映射为 (σ') .



可以证明, 正则变换(2.13)存在唯一的逆变换

$$\begin{cases} x = x(u, v) \\ y = y(u, v) \end{cases}, (u, v) \in (\sigma') \quad (2.14)$$

该逆变换也是正则的, 它将区域 (σ') 一一对应地映射为区域 (σ) . 而两个区域的内部对应内部, 外部对应外部, 边界对应边界.

类似于极坐标变换公式(2.4)的导出, 变换(2.13)可以看作是从 xOy 直角坐标平面到 uOv 直角坐标平面的映射, 它把 xOy 平面上的积分域 (σ) 映射为 uOv 平面上的积分域 (σ') .



为了在域 (σ') 上计算二重积分, 我们用坐标线 $u = C_1, v = C_2$ 来划分区域 (σ') , 其中 C_1 与 C_2 均为常数. 显然, 在 uOv 直角坐标平面上子域 $(\Delta\sigma')$ 的面积 $\Delta\sigma' = \Delta u \cdot \Delta v$, 为了建立二重积分在这两个直角坐标系下的关系, 我们需要知道 $(\Delta\sigma')$ 在映射 (2.13) 下的原像是什么?

由 (2.13) 式可见:
 uOv 平面上的直线 $u = u_0, u = u_0 + \Delta u$ 在 xOy 平面上的原像分别为 $u(x, y) = u_0, u(x, y) = u_0 + \Delta u$;



$v = v_0$, $v = v_0 + \Delta v$ 的原像分别为
 $v(x, y) = v_0$, $v(x, y) = v_0 + \Delta v$.

于是 $(\Delta\sigma')$ 在 xOy 平面上的原像是由上述四条曲线所围成的区域 $(\Delta\sigma)$ (图6.23). 由此可见, 在 uOv 平面上对域 (σ') 用坐标线 $u = C_1, v = C_2$ 划分, 对应于在

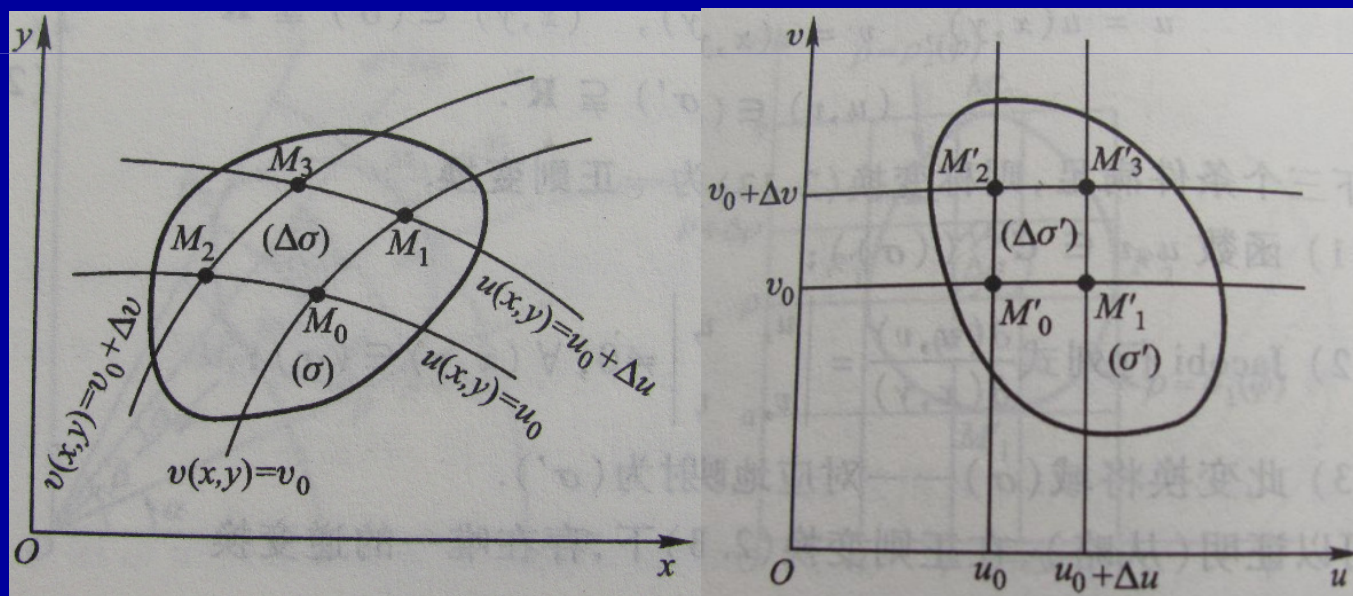


图6.23



在 xOy 平面上用曲线 $u(x, y) = C_1, v(x, y) = C_2$ 对域 (σ) 进行划分. $u(x, y) = C_1, v(x, y) = C_2$ 分别称为 **u 曲线族** 和 **v 曲线族**. 于是, xOy 平面上任一点 M_0 , 既可用直角坐标 (x_0, y_0) 表示, 也可用 u 曲线 $u(x, y) = u_0$ 和 v 曲线 $v(x, y) = v_0$ 的交点表示为 (u_0, v_0) , 称为 M_0 点的 **曲线坐标**. 曲线坐标 (u, v) 与直角坐标 (x, y) 之间的转换关系由公式(2.13)与(2.14)给出. 由此可见, $(\Delta\sigma')$ 的四个顶点 M'_0, M'_1, M'_2 与 M'_3 在 xOy 平面上对应点的直角坐标分别为



$$M_0(x(u_0, v_0), y(u_0, v_0)), M_1(x(u_0 + \Delta u, v_0), y(u_0 + \Delta u, v_0)), \\ M_2(x(u_0, v_0 + \Delta v), y(u_0, v_0 + \Delta v)), \\ M_3(x(u_0 + \Delta u, v_0 + \Delta v), y(u_0 + \Delta u, v_0 + \Delta v)),$$

当 Δu 与 Δv 充分小时, 以上述四点为顶点的曲边四边形 $(\Delta\sigma)$ 的面积 $\Delta\sigma$ 可近似地看作是以向量 $\overrightarrow{M_0M_1}$ 与 $\overrightarrow{M_0M_2}$ 为邻边所构成的平行四边形的面积. 由于

$$\begin{aligned} \overrightarrow{M_0M_1} &= [x(u_0 + \Delta u, v_0) - x(u_0, v_0)]\vec{i} \\ &\quad + [y(u_0 + \Delta u, v_0) - y(u_0, v_0)]\vec{j} \\ &\approx x_u(u_0, v_0)\Delta u \vec{i} + y_u(u_0, v_0)\Delta u \vec{j}, \end{aligned}$$



$$\begin{aligned}\overrightarrow{M_0M_2} &= [x(u_0, v_0 + \Delta v) - x(u_0, v_0)]\vec{i} \\ &\quad + [y(u_0, v_0 + \Delta v) - y(u_0, v_0)]\vec{j} \\ &\approx x_v(u_0, v_0)\Delta v \vec{i} + y_v(u_0, v_0)\Delta v \vec{j},\end{aligned}$$

从而

$$\begin{aligned}\Delta\sigma &\approx \left\| \overrightarrow{M_0M_1} \times \overrightarrow{M_0M_2} \right\| \approx \left\| \begin{vmatrix} \vec{i} & \vec{j} & \vec{k} \\ x_u\Delta u & y_u\Delta u & 0 \\ x_v\Delta v & y_v\Delta v & 0 \end{vmatrix}_{(u_0, v_0)} \right\| \\ &= \left| \begin{vmatrix} x_u & y_u \\ x_v & y_v \end{vmatrix}_{(u_0, v_0)} \right| \Delta u \Delta v = \left| \frac{\partial(x, y)}{\partial(u, v)} \right|_{(u_0, v_0)} \Delta u \Delta v.\end{aligned}$$



所以

$$d\sigma = \left| \frac{\partial(x, y)}{\partial(u, v)} \right| du dv = \left| \frac{\partial(x, y)}{\partial(u, v)} \right| d\sigma' \quad (2.15)$$

其中 $d\sigma' = du dv$ 是 uOv 直角坐标平面上的面积微元.

(2.15) 式表明, 映射 (2.13) 将 xOy 平面上的面积微元 $d\sigma$ 映射成 uOv 平面上的面积微元 $d\sigma'$, 使面积产生了伸缩, 伸缩系数为 $\left| \frac{\partial(x, y)}{\partial(u, v)} \right|$. 于是, 在映射 (2.13) 的作用下, xOy 坐标系下的二重积分与 uOv 坐标系下的二重积分之间的关系为



$$\iint_{(\sigma)} f(x, y) d\sigma = \iint_{(\sigma')} f(x(u, v), y(u, v)) \left| \frac{\partial(x, y)}{\partial(u, v)} \right| d\sigma' \quad (2.16)$$

对于 uOv 直角坐标系下由 (2.16) 右端所表示的二重积分应用公式 (2.2) 或 (2.3), 便可将其化为对变量 u 与 v 的累次积分.

应当指出, 如果 Jacobi 行列式 $\frac{\partial(x, y)}{\partial(u, v)}$ 在域 (σ') 上的个别点或一条曲线上为零, 而在其它点上不为零, 那么公式 (2.16) 仍成立.



例2.12 求 $I = \iiint_{(\sigma)} (y-x) d\sigma$, 其中 (σ) 是由直线 $y=x+1$, $y=x-3$, $y=-\frac{x}{3}+\frac{7}{9}$ 及 $y=-\frac{x}{3}+5$ 所围成的区域 (图6.21).

解 四条直线交点的坐标分别为

$$A\left(-\frac{1}{6}, \frac{5}{6}\right), B\left(\frac{17}{6}, -\frac{1}{6}\right),$$

$$C(6, 3), D(3, 4)$$

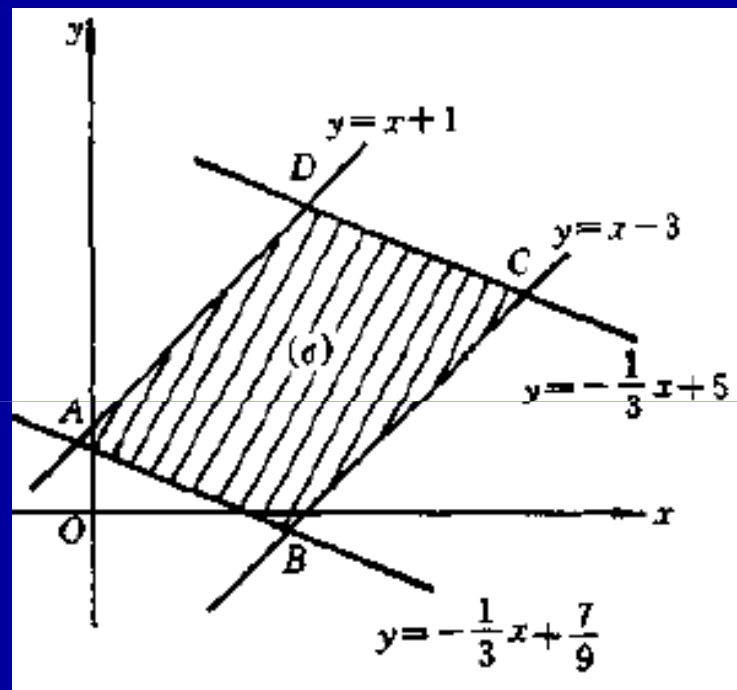


图6.21

从上图中能看出, 不论先对 x 还是先对 y 积分, 积分区域都要分成三部分, 比较麻烦. 所以可改用**曲线坐标**.



由于积分区域 (σ) 的边界是由直线族 $y-x=c_1$ 中的两条直线 (对应于 $c_1=1$ 与 $c_1=-3$) 以及直线族 $y+\frac{1}{3}x=c_2$ 中的两条直线 (对应于 $c_2=7/9$ 与 $c_2=5$) 所围成

这就启发我们作如下的变换:

$$u = y - x, \quad v = y + \frac{1}{3}x. \quad (2.17)$$

变换 (2.17) 将 xOy 平面上的区域 (σ) 映射成 uOv 直角坐标平面上的 (σ') (图6.22).

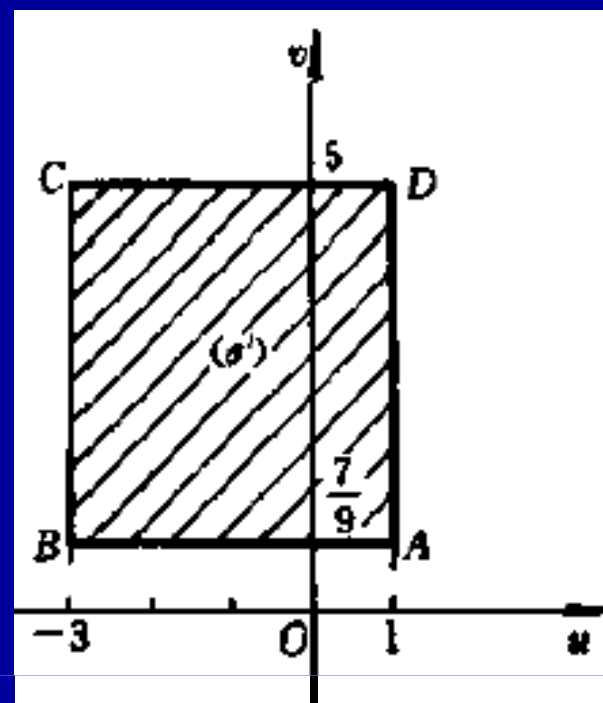


图6.22



由于(见第五章公式(5.47))

$$\frac{\partial(x, v)}{\partial(u, v)} = \frac{1}{\frac{\partial(u, v)}{\partial(x, v)}} = \frac{1}{\begin{vmatrix} -1 & 1 \\ 1/3 & 1 \end{vmatrix}} = -\frac{3}{4}.$$

于是, 由公式(2.16)可得

$$\begin{aligned} I &= \iint_{(\sigma)} (v-x) d\sigma = \iint_{(\sigma')} \left[\left(\frac{1}{4}u + \frac{3}{4}v \right) - \left(-\frac{3}{4}u + \frac{3}{4}v \right) \right] \left| \frac{\partial(x, v)}{\partial(u, v)} \right| d\sigma' \\ &= \frac{3}{4} \iint_{(\sigma')} u du dv = \frac{3}{4} \int_{\frac{1}{3}}^{\frac{5}{3}} dv \int_{-3}^1 u du = -\frac{38}{3}. \quad \blacksquare \end{aligned}$$



值得一提:由于变换(2.17)在 xOy 平面上的几何意义比较明显, 我们也可以在 xOy 平面上利用“无限累加”的思想通过变换把二重积分化为累次积分, 而不必把域 (σ) 映射到 uOv 平面上去计算. 这时利用 $u = y - x = C_1, v = y + \frac{1}{3}x = C_2$ 分割区域 (σ) , 就是用与 (σ) 边界直线平行的直线族分割 (σ) . 由公式(2.15)可知, 面积微元

$$d\sigma = \left| \frac{\partial(x, y)}{\partial(u, v)} \right| du dv = \frac{3}{4} du dv.$$



从而, 在 xOy 平面上就有

$$\begin{aligned}\iint_{(\sigma)} (v-x) d\sigma &= \iint_{(\sigma)} \left[\left(\frac{1}{4}u + \frac{3}{4}v \right) - \left(-\frac{3}{4}u + \frac{3}{4}v \right) \right] \left| \frac{\partial(x,v)}{\partial(u,v)} \right| du dv \\ &= \frac{3}{4} \iint_{(\sigma)} u du dv.\end{aligned}$$

在 (σ) 上“无限累加”乘积项 $u du dv$ 时, 先沿 u 增加方向累加, 再沿 v 增加方向累加, 由图6.21直接可得

$$I = \frac{3}{4} \iint_{(\sigma)} u du dv = \frac{3}{4} \int_{\frac{1}{3}}^{\frac{5}{3}} dv \int_{-\frac{1}{3}}^1 u du = -\frac{38}{3}.$$



例2.13 计算 $\iint_D \sqrt{xy} \, d\sigma$, 其中 (σ) 为由曲线 $xy=1$, $xy=2$, $y=x$, $y=4x$ ($x>0, y>0$) 所围成的区域.

解 由图6.23可见, 如果我们用直角坐标直接计算此积分, 必须将积分域 (σ) 分成三个子域来进行, 麻烦. 所以我们采用曲线坐标变换:

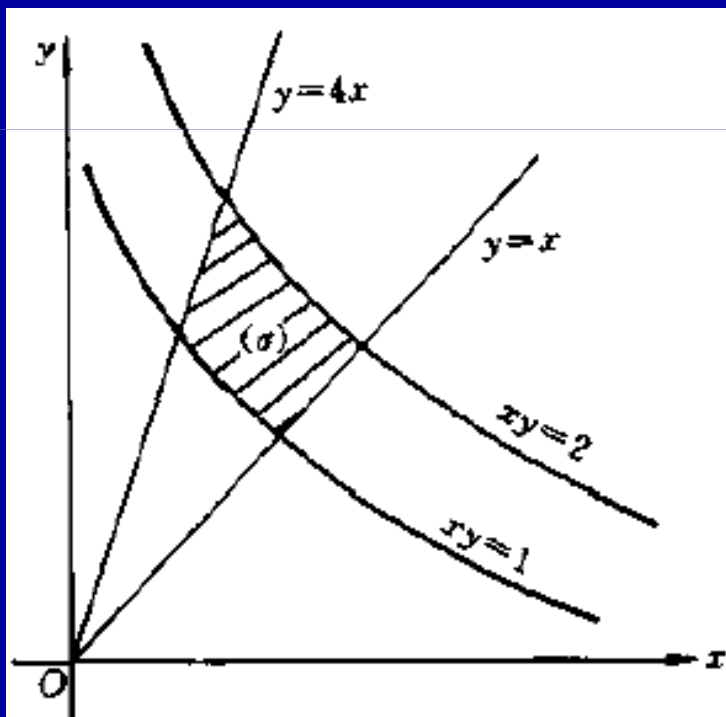


图6.23

$$u = xy, \quad v = \frac{y}{x}. \quad (2.18)$$

在此变换下, (σ) 的边界曲线映射成 uOv 平面中的水平线和铅直线

$$u=1, u=2, v=1, v=2.$$



变换: $u = xy, \quad v = \frac{y}{x}.$

$u=1, 2, v=1, 4$, 这四条边界曲线
围成了 uOv 平面直角坐标系中的
矩形区域 (σ')

$$(\sigma') = \{(u, v) \mid 1 \leq u \leq 2, 1 \leq v \leq 4\}$$

为了求得积分微元的变换式,

我们求出

$$\frac{\partial(u, v)}{\partial(x, y)} = \begin{vmatrix} \frac{y}{x} & x \\ -\frac{y}{x^2} & \frac{1}{x} \end{vmatrix} = 2 \frac{y}{x}.$$

从而

$$\frac{\partial(x, y)}{\partial(u, v)} = \frac{1}{\frac{\partial(u, v)}{\partial(x, y)}} = \frac{1}{2v}.$$

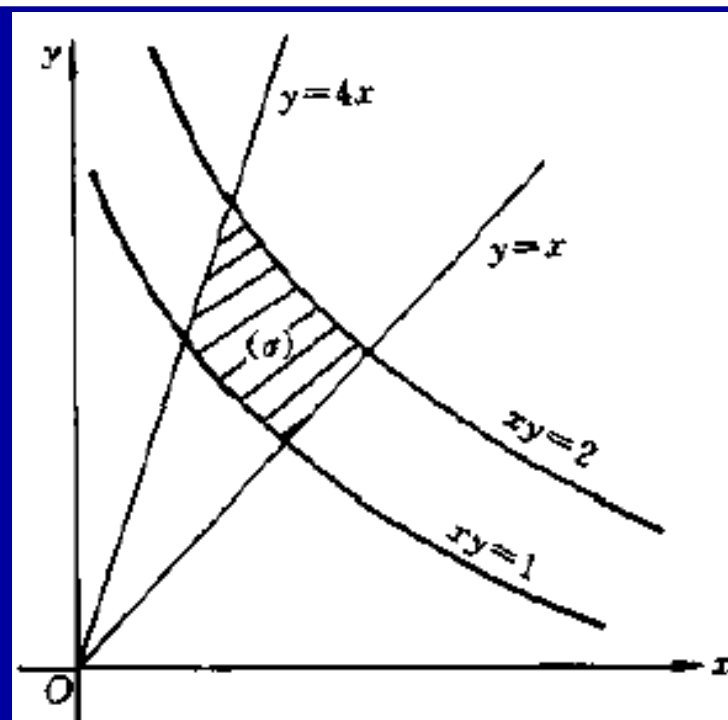


图6.23



$$\iint_{(\sigma)} f(x, y) d\sigma = \iint_{(\sigma')} f(x(u, v), y(u, v)) \left| \frac{\partial(x, y)}{\partial(u, v)} \right| d\sigma' \quad (2.16)$$

$$f(x, y) = \sqrt{xy} = \sqrt{u}, \quad d\sigma' = du dv, \quad \frac{\partial(x, y)}{\partial(u, v)} = \frac{1}{\frac{\partial(u, v)}{\partial(x, y)}} = \frac{1}{2v}.$$

于是, 根据公式(2.16) 就有

$$\iint_{(\sigma)} \sqrt{xy} d\sigma = \iint_{(\sigma')} \sqrt{u} \frac{1}{2v} du dv$$

$$= \frac{1}{2} \int_1^4 \frac{1}{v} dv \int_1^2 \sqrt{u} du = \frac{2}{3} (2\sqrt{2} - 1) \ln 2. \quad \blacksquare$$



例2.14 计算 $I = \iint_{(\sigma)} x^2 d\sigma$, 其中 (σ) 为椭圆 $\frac{x^2}{4} + \frac{y^2}{9} = 1$ 的内部

解 由于积分域是椭圆, 如果采用极坐标变换, 积分域的边界曲线方程变得比较复杂, 难以计算. 为了简化积分域的边界曲线方程, 我们运用曲线坐标变换:

$$\frac{x^2}{4} = \rho^2 \cos^2 \varphi, \quad \frac{y^2}{9} = \rho^2 \sin^2 \varphi,$$

即

$$x = 2\rho \cos \varphi, \quad y = 3\rho \sin \varphi, \quad (0 \leq \rho < +\infty, 0 \leq \varphi \leq 2\pi) \quad (2.19)$$

此变换的逆变换将 xOy 平面上所给的椭圆域映射成 $\varphi O\rho$ 平面直角坐标系中的矩形域

$$(\sigma') = \{(\varphi, \rho) \mid 0 \leq \varphi \leq 2\pi, 0 \leq \rho \leq 1\}$$



由于

$$d\sigma = \left| \frac{\partial(x, y)}{\partial(\varphi, \rho)} \right| d\rho d\varphi = 6\rho d\rho d\varphi.$$

从而

$$\begin{aligned} I &= \int_{(\sigma')} \iint 4\rho^2 \cos^2 \varphi \cdot 6\rho d\rho d\varphi = 24 \int_0^{2\pi} \cos^2 \varphi d\varphi \int_0^1 \rho^3 d\rho \\ &= 6 \int_0^{2\pi} \cos^2 \varphi d\varphi = 6\pi. \quad \blacksquare \end{aligned}$$

广义极坐标变换

$$x = a\rho \cos \varphi, \quad y = b\rho \sin \varphi, \quad (0 \leq \rho < +\infty, 0 \leq \varphi \leq 2\pi)$$

称为 **广义极坐标变换**. 容易看出, 在此变换下, 面积微元

$$d\sigma = ab\rho d\rho d\varphi.$$

当 $a=b=1$, 广义极坐标变换就是极坐标变换.

